

## АЛГОРИТМ РАСЧЕТА СТАТИЧЕСКИХ СМЕЩЕНИЙ В СЛОИСТО ОДНОРОДНОЙ СФЕРИЧЕСКОЙ ЗЕМЛЕ НА ОСНОВЕ ТЕХНИКИ МАТРИЧНОГО ИМПЕДАНСА

*Павлов В.М.*

*Камчатский филиал Геофизической службы РАН, г.Петропавловск-Камчатский, pvm@emsd.ru*

### Введение

Ранее автором [2] был предложен алгоритм расчета статики в слоистом упругом изотропном полупространстве. В данной работе предлагается аналогичный алгоритм для слоистого шара. Алгоритм использует представление решения через векторные поверхностные гармоники [7]. Неизвестные функции радиальной переменной – радиальные функции – образуют вектор движения-напряжения, удовлетворяющий системе обыкновенных дифференциальных уравнений (СОДУ). Алгоритм расчета радиальных функций аналогичен алгоритму расчета функций глубины в слоистом полупространстве [2, 3, 6] с заменой экспоненциальных функций глубины на степенные функции радиальной сферической переменной. Задача сводится к расчету импеданса – матрицы, переводящей вектор движения в вектор напряжения – и пропагатора для вектора движения. Для построения решения СОДУ используется аналитическое решение для сферического слоя.

В отличие от случая безграничной среды для построения решения нужно исключить перемещение и поворот шара как твердого тела. Эти условия формулируются как неподвижность центра масс и равенство нулю момента количества движения.

### Постановка задачи

Рассмотрим слоисто однородный упругий изотропный шар, состоящий из «ядра» – внутреннего шара, и лежащей на нем пачки сферических слоев. Ниже используется геоцентрическая декартова система координат  $Oxyz$ , связанная с гипоцентром землетрясения (рис.1), а также сферическая система координат  $r, \theta, \psi$ .

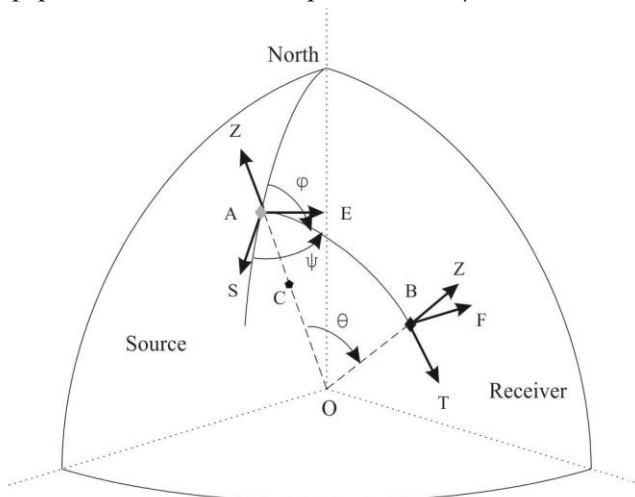


Рис.1. Декартова система координат определяется осями  $e_1$  (AS),  $e_2$  (AE),  $e_3$  (AZ). A – эпицентр, AS – направление на юг, AE – на восток, AZ – по радиусу к зениту. Сферическая система координат:

$$x=r\sin\theta\cos\psi, y=r\sin\theta\sin\psi, z=r\cos\theta$$

$r$  – радиус,  $\theta$  – «colatitude» – эпицентральное расстояние,  $\psi$  – «долгота» – полярный угол. Источник имеет координаты  $(r_s, 0, 0)$ . Огты сферической системы координат в приемнике

$$BT: \mathbf{e}_\theta = (\cos\theta\cos\psi, \cos\theta\sin\psi, -\sin\theta)^T$$

$$BF: \mathbf{e}_\psi = (-\sin\psi, \cos\psi, 0)^T$$

$$BZ: \mathbf{e}_r = (\sin\theta\cos\psi, \sin\theta\sin\psi, \cos\theta)^T$$

(«Т» - транспонирование). Буквой  $\phi$  на рисунке обозначен азимут из эпицентра на приемник. АВ – дуга большого круга.

Требуется рассчитать статические смещения от точечного диполя общего вида с симметричным тензором сейсмического момента  $M_{ij}$ , ( $i, j=1, 2, 3$ ). При этом смещение  $\mathbf{u} = \mathbf{u}(r, \theta, \psi)$  удовлетворяет уравнению статической теории упругости и граничным условиям. Внешняя граница свободна от напряжений:  $\mathbf{T}(r, \theta, \psi)|_{r=a} = \mathbf{0}$ , где  $\mathbf{T} = \boldsymbol{\sigma} \cdot \mathbf{e}_r$  – вектор напряжения на площадке с нормалью, направленной по радиусу. На границах разрыва свойств среды смещения и напряжения непрерывны. Кроме того, для исключения движения шара как твердого тела используются условия [5]:

$$\int_V \rho \mathbf{u} dV = 0 \quad (\text{неподвижность центра масс } \rho \text{ – плотность}), \text{ и}$$

$\int_V \rho \mathbf{u} \times \mathbf{r} dV = 0$  (отсутствие момента количества движения).

### Представление решения

Для построения решения используем разложения  $\mathbf{u}$  и  $\mathbf{T}$  по векторным поверхностным гармоникам  $\mathbf{T}_l^m, \mathbf{S}_l^m, \mathbf{R}_l^m$  [1]

$$\mathbf{u}(r, \theta, \psi) = \sum_{l=0}^{\infty} \sum_{m=-l}^l \mathbf{K}_l^m(\theta, \psi) \mathbf{d}_l^m(r), \quad \mathbf{T}(r, \theta, \psi) = r^{-1} \sum_{l=0}^{\infty} \sum_{m=-l}^l \mathbf{K}_l^m(\theta, \psi) \mathbf{s}_l^m(r) \quad (1)$$

где  $\mathbf{K}_l^m = (\mathbf{T}_l^m, \mathbf{S}_l^m, \mathbf{R}_l^m)$  – 3x3 матрица;  $\mathbf{d}_l^m = (W, V, U)^T$  – вектор движения;  $r^{-1} \mathbf{s}_l^m = (T, S, R)^T$  – вектор напряжения (обозначение компонент векторов по [1]). Неизвестные функции радиуса удовлетворяют системе обыкновенных дифференциальных уравнений

$$\frac{d}{dr} \begin{pmatrix} \mathbf{d} \\ r^{-1} \mathbf{s} \end{pmatrix} = \begin{pmatrix} \mathbf{A}_{11} & \mathbf{A}_{12} \\ \mathbf{A}_{21} & \mathbf{A}_{22} \end{pmatrix} \begin{pmatrix} \mathbf{d} \\ r^{-1} \mathbf{s} \end{pmatrix} \quad (2)$$

Выражения для матриц  $\mathbf{A}_{ij}$ , ( $i, j = 1, 2$ ) получаются комбинированием матриц (8.33) и (8.34) из книги [1]. Наличие источника проявляется в том, что зависимые переменные имеют разрыв на границе источника при  $r=r_s$ . В зависимости от значения азимутального числа  $m$  для величины разрыва (скачка) имеем следующие выражения (см. также [7])

$$m=0: [\mathbf{d}_l^{(0)}] = \frac{1}{(\lambda_s + 2\mu_s)r_s^2} \left( \frac{2l+1}{4\pi} \right)^{1/2} \mathbf{e}_3 M_{zz}, \quad (3a)$$

$$[\mathbf{s}_l^{(0)}] = \frac{1}{2r_s^2} \left( \frac{2l+1}{4\pi} \right)^{1/2} (k_l \mathbf{e}_2 - 2\mathbf{e}_3) \left( M_{xx} + M_{yy} - \frac{2\lambda_s}{\lambda_s + 2\mu_s} M_{zz} \right), \quad (3b)$$

$$m=1: [\mathbf{d}_l^{(1)}] = -\frac{1}{r_s^2} \frac{1}{2\mu_s} \left( \frac{2l+1}{4\pi} \right)^{1/2} (-i\mathbf{e}_1 + \mathbf{e}_2) (M_{xz} - iM_{yz}), \quad [\mathbf{s}_l^{(1)}] = \mathbf{0}, \quad (3b)$$

$$m=2: [\mathbf{d}_l^{(2)}] = \mathbf{0}, \quad [\mathbf{s}_l^{(2)}] = -\frac{1}{4r_s^2} \left( \frac{2l+1}{4\pi} \right)^{1/2} p_l (-i\mathbf{e}_1 + \mathbf{e}_2) (M_{xx} - M_{yy} - 2iM_{xy}), \quad (3r)$$

$$m>2: [\mathbf{d}_l^{(m)}] = \mathbf{0}, \quad [\mathbf{s}_l^{(m)}] = \mathbf{0}, \quad (3d)$$

$k_l = [l(l+1)]^{1/2}$ ,  $p_l = [(l+2)(l-1)]^{1/2}$ , ( $l = 0, 1, 2, \dots$ );  $\mathbf{e}_i$ , ( $i = 1, 2, 3$ ) – орты – столбцы единичной матрицы 3-его порядка. При отрицательных  $m$

$[\mathbf{d}_l^{(m)}] = (-1)^m [\mathbf{d}_l^{(-m)}]^*$ ,  $[\mathbf{s}_l^{(m)}] = (-1)^m [\mathbf{s}_l^{(-m)}]^*$  (\* – комплексное сопряжение). Условия неподвижности шара как твердого тела принимают вид

$$\begin{pmatrix} 0 & 1 & \sqrt{2} \end{pmatrix} \int_0^{r_E} \rho \mathbf{d}_1^{(m)} r^2 dr = 0, \quad \begin{pmatrix} 1 & 0 & 0 \end{pmatrix} \int_0^{r_E} \rho \mathbf{d}_1^{(m)} r^3 dr = 0, \quad (m=0,1) \quad (4)$$

### Решение СОДУ (2)

Приведем формулы для решения СОДУ (2). Используем метод матричного импеданса [3; 4]. Для этого вводится импеданс  $\mathbf{H}(r)$  – матрица, переводящая вектор движения в вектор напряжения:

$$\mathbf{s}(r) = \mathbf{H}(r)\mathbf{d}(r) \quad (5)$$

и пропагатор вектора движения  $\mathbf{Q}(r_2, r_1)$ :

$$\mathbf{d}(r_2) = \mathbf{Q}(r_2, r_1)\mathbf{d}(r_1) \quad (6)$$

Формулы для расчета импеданса и пропагатора получаются при выводе, аналогичном приведенному в статье [3]. При этом используется решение СОДУ (2) в однородном сферическом слое

$$\begin{pmatrix} \mathbf{d}(r) \\ \mathbf{s}(r) \end{pmatrix} = \begin{pmatrix} \mathbf{L}_{11} & \mathbf{L}_{12} \\ \mathbf{L}_{21} & \mathbf{L}_{22} \end{pmatrix} \begin{pmatrix} \mathbf{D}_1(r) & \mathbf{0} \\ \mathbf{0} & \mathbf{D}_2^{-1}(r) \end{pmatrix} \begin{pmatrix} \mathbf{w}_1 \\ \mathbf{w}_2 \end{pmatrix} \quad (7)$$

$$\mathbf{D}_1(r) = r^l \begin{pmatrix} 1 & 0 & 0 \\ 0 & r^{-1} & 0 \\ 0 & 0 & r \end{pmatrix}, \quad \mathbf{D}_2(r) = r^l \begin{pmatrix} r & 0 & 0 \\ 0 & r^2 & 0 \\ 0 & 0 & r \end{pmatrix} \quad (8)$$

Выражения для матриц  $\mathbf{L}_{ij}$ , ( $i, j = 1, 2$ )

$$\mathbf{L}_{11} = \begin{pmatrix} 1 & 0 & 0 \\ 0 & k_l & k_l(\lambda(l+3) + \mu(l+5)) \\ 0 & l & (l+1)(\lambda l + \mu(l-2)) \end{pmatrix}, \quad \mathbf{L}_{12} = \begin{pmatrix} 1 & 0 & 0 \\ 0 & k_l & -k_l(\lambda(l-2) + \mu(l-4)) \\ 0 & -(l+1) & l(\lambda(l+1) + \mu(l+3)) \end{pmatrix} \quad (9a)$$

$$\mathbf{L}_{21} = 2\mu \begin{pmatrix} (l-1)/2 & 0 & 0 \\ 0 & k_l(l-1) & k_l(\lambda(l^2+2l) + \mu(l^2+2l-1)) \\ 0 & l(l-1) & (l+1)(\lambda(l^2-l-3) + \mu(l^2-l-2)) \end{pmatrix}, \quad (9b)$$

$$\mathbf{L}_{22} = 2\mu \begin{pmatrix} -(l+2)/2 & 0 & 0 \\ 0 & -k_l(l+2) & k_l(\lambda(l^2-1) + \mu(l^2-2)) \\ 0 & (l+1)(l+2) & -l(\lambda(l^2+3l-1) + \mu(l^2+3l)) \end{pmatrix} \quad (9b)$$

Векторы  $\mathbf{w}_1$   $\mathbf{w}_2$  постоянны в пределах слоя. Введенные матричные функции: импеданс  $\mathbf{H}$ , и пропагатор  $\mathbf{Q}$  зависят от углового числа  $l$ , но не зависят от азимутального числа  $m$ . Если построен пропагатор и известно значение вектора движения на верхней стороне границы источника  $\mathbf{d}(r_s + 0)$ , то для его значения выше границы источника – решение СОДУ (2) – имеем выражение

$$\mathbf{d}(r) = \mathbf{Q}(r, r_s)\mathbf{d}(r_s + 0) \quad (10)$$

### Расчет $\mathbf{d}(r_s + 0)$ : случаи $l \neq 1$ и $l = 1$

Из (5) получаем условие на  $\mathbf{d}(r_s + 0)$

$$[\mathbf{H}(r_s)]\mathbf{d}(r_s + 0) = [\mathbf{s}(r_s)] - \mathbf{H}(r_s - 0)[\mathbf{d}(r_s)] \quad (11)$$

В случае  $l \neq 1$  матрица  $[\mathbf{H}(r_s)]$  обратима и

$$\mathbf{d}(r_s + 0) = [\mathbf{H}(r_s)]^{-1}([\mathbf{s}(r_s)] - \mathbf{H}(r_s - 0)[\mathbf{d}(r_s)]). \quad (12)$$

Поэтому при  $r \geq r_s$

$$\mathbf{d}(r) = \mathbf{B}^d(r)[\mathbf{d}(r_s)] + \mathbf{B}^s(r)[\mathbf{s}(r_s)] \quad (13a)$$

где

$$\mathbf{B}^s(r) = \mathbf{Q}(r, r_s)[\mathbf{H}(r_s)]^{-1}, \quad \mathbf{B}^d(r) = -\mathbf{B}^s(r)\mathbf{H}(r_s - 0) \quad (13b)$$

Аналогичная формула верна и для приемника с радиусом меньшим, чем радиус источника с заменой  $\mathbf{H}(r_s - 0)$  на  $\mathbf{H}(r_s + 0)$ . Вектор напряжения получается умножением (13a) слева на импеданс.

Полученные формулы применимы, если существует  $([\mathbf{H}(r_s)])^{-1}$ .

В случае  $l = 1$  матрица  $\mathbf{H}$  имеет структуру

$$\mathbf{H} = a \begin{pmatrix} 0 & 0 & 0 \\ 0 & 1 & -\sqrt{2} \\ 0 & -\sqrt{2} & 2 \end{pmatrix}, \quad (a = H_{22}) \quad (14)$$

Поэтому матрица  $[\mathbf{H}(r_s)]$  вырождена, и уравнение (11) относительно  $\mathbf{d}(r_s + 0)$  не является однозначно разрешимым. Условия неподвижности центра масс и равенства нулю момента количества движения позволяют однозначно разрешить уравнение (11) относительно  $\mathbf{d}(r_s + 0)$  и для этого случая. Введем тройку векторов

$$\mathbf{a}_1 = (1 \ 0 \ 0)^T, \quad \mathbf{a}_2 = (0 \ \sqrt{2} \ 1)^T, \quad \mathbf{a}_3 = (0 \ 1 \ -\sqrt{2})^T \quad (15)$$

Отметим, что  $\mathbf{H}\mathbf{a}_1 = \mathbf{0}$ ,  $\mathbf{H}\mathbf{a}_2 = \mathbf{0}$ ,  $\mathbf{H}\mathbf{a}_3 = 3H_{22}\mathbf{a}_3$ . Неизвестный вектор  $\mathbf{d}(r_s + 0)$  разложим по введенным векторам (при фиксированном  $m=0$  или 1)

$$\mathbf{d}(r_s + 0) = x_1\mathbf{a}_1 + x_2\mathbf{a}_2 + x_3\mathbf{a}_3 \quad (16)$$

Для определения трех неизвестных имеем три уравнения: одно из условия (11) и два из условий (4). В результате и в случае  $l=1$  для вектора движения получим выражение структурно аналогичное (13a).

### Базовые функции и элементарные сейсмограммы

Подставим выражение (13a) в первую из формул (1). С учетом выражений (3) для скачков

$$\mathbf{u} = \mathbf{u}^{(0)} + \mathbf{u}^{(1)} + \mathbf{u}^{(2)}, \quad \text{где } \mathbf{u}^{(0)} = \sum_{l=0}^{\infty} \mathbf{K}_l^0 (\mathbf{B}_l^d(r)[\mathbf{d}_l^0(r_s)] + \mathbf{B}_l^s(r)[\mathbf{s}_l^0(r_s)]), \quad (17a)$$

$$\mathbf{u}^{(1)} = \sum_{l=0}^{\infty} (\mathbf{K}_l^{(1)} \mathbf{B}_l^d(r)[\mathbf{d}_l^{(1)}(r_s)] + \mathbf{K}_l^{(-1)} \mathbf{B}_l^d(r)[\mathbf{d}_l^{(-1)}(r_s)]), \quad (17b)$$

$$\mathbf{u}^{(2)} = \sum_{l=0}^{\infty} (\mathbf{K}_l^{(2)} \mathbf{B}_l^s(r)[\mathbf{s}_l^{(2)}(r_s)] + \mathbf{K}_l^{(-2)} \mathbf{B}_l^s(r)[\mathbf{s}_l^{(-2)}(r_s)]) \quad (17b)$$

При  $l \neq 1$  величины  $\mathbf{B}_l^d(r)$ ,  $\mathbf{B}_l^s(r)$  даны формулами (13b); в случае  $l=1$  выражения для них получаются описанным выше способом.

Введем вектор  $\mathbf{U} = \mathbf{R}\mathbf{u}$ , с компонентами  $U_\theta, U_\psi, U_r$ , где  $\mathbf{R} \equiv (\mathbf{e}_\theta, \mathbf{e}_\psi, \mathbf{e}_r)^T$  – матрица перехода к сферическим компонентам. Тогда после преобразований из (17) получим выражение для решения

через элементарные сейсмограммы – функции влияния компонент тензора сейсмического момента

$$\mathbf{M}^c = \mathbf{RMR}^T \Big|_{\theta=0}$$

$$\begin{pmatrix} U_\theta \\ U_\psi \\ U_r \end{pmatrix} = \frac{1}{2} \begin{pmatrix} g_1^{(0)} + g_1^{(2)} \\ 0 \\ g_3^{(0)} + g_3^{(2)} \end{pmatrix} M_{11}^c + \begin{pmatrix} 0 \\ g_2^{(2)} \\ 0 \end{pmatrix} M_{12}^c + \begin{pmatrix} h_1^{(1)} \\ 0 \\ h_3^{(1)} \end{pmatrix} M_{13}^c + \frac{1}{2} \begin{pmatrix} g_1^{(0)} - g_1^{(2)} \\ 0 \\ g_3^{(0)} - g_3^{(2)} \end{pmatrix} M_{22}^c + \begin{pmatrix} 0 \\ h_2^{(1)} \\ 0 \end{pmatrix} M_{23}^c + \begin{pmatrix} (h_1^{(0)} - g_1^{(0)})\chi_s \\ 0 \\ (h_3^{(0)} - g_3^{(0)})\chi_s \end{pmatrix} M_{33}^c \quad (18a)$$

где  $M_{11}^c$  и т.д. – компоненты матрицы  $\mathbf{M}^c$ ;

$g_i^{(0)}, h_i^{(0)}, h_i^{(1)}, g_i^{(2)}$ , ( $i=1,2,3$ ) – компоненты базовых вектор-функций

$$\mathbf{g}^{(0)} = \frac{1}{4\pi r_s^2} \sum_{l=0}^{\infty} (2l+1) \mathbf{A}_l^{(0)} \mathbf{B}_l^s(r) (k_l \mathbf{e}_2 - 2\mathbf{e}_3), \quad \mathbf{h}^{(0)} = \frac{1}{4\pi \lambda_s r_s^2} \sum_{l=0}^{\infty} (2l+1) \mathbf{A}_l^{(0)} \mathbf{B}_l^d(r) \mathbf{e}_3, \quad (18б)$$

$$\mathbf{h}^{(1)} = \frac{1}{4\pi r_s^2 \mu_s} \sum_{l=0}^{\infty} \frac{2l+1}{k_l} \mathbf{A}_l^{(1)} \mathbf{B}_l^d(r) (\mathbf{e}_1 + \mathbf{e}_2), \quad \mathbf{g}^{(2)} = -\frac{1}{4\pi r_s^2} \sum_{l=0}^{\infty} \frac{2l+1}{k_l} \mathbf{A}_l^{(2)} \mathbf{B}_l^s(r) (\mathbf{e}_1 + \mathbf{e}_2); \quad (18в)$$

$$\mathbf{A}_l^{(m)} = \frac{1}{k_l} \begin{pmatrix} \frac{m}{\sin \theta} P_l^m(q) & -\sin \theta \frac{d}{dq} P_l^m(q) & 0 \\ -\sin \theta \frac{d}{dq} P_l^m(q) & \frac{m}{\sin \theta} P_l^m(q) & 0 \\ 0 & 0 & k_l P_l^m(q) \end{pmatrix}, \quad (q = \cos \theta, m = 0, 1, 2), \quad \chi_s = \frac{\lambda_s}{\lambda_s + 2\mu_s}$$

$P_l^m(q) \equiv P_l^m(\cos \theta)$  – присоединенная функция Лежандра.

### Заключение

В работе предлагается полуаналитический алгоритм расчета статических смещений в слоисто-однородном изотропном шаре от дипольного источника с симметричным тензором сейсмического момента. Алгоритм использует представление решения через векторные поверхностные гармоники, включающее неизвестные функции радиальной переменной – радиальные функции. Алгоритм расчета радиальных функций аналогичен алгоритму расчета функций глубины в слоистом полупространстве. Для построения решения СОДУ используется аналитическое решение для сферического слоя. В отличие от случая безграничной среды для построения решения нужно учесть условие неподвижности шара в целом. Полученные формулы объединяют сфероидальный и тороидальный случаи и имеют компактный вид.

### Список литературы

1. Аки К., Ричардс П. Количественная сейсмология. Т. 1. М.: Мир. 1983. 520 с.
2. Павлов В.М. Расчет смещений от статической силы в слоистом полупространстве. Вулканология и сейсмология, № 4, с. 25-33, 2006.
3. Павлов В.М. Матричный импеданс в задаче расчета синтетических сейсмограмм в слоисто-однородной изотропной упругой среде // Физика Земли. 2009. № 10. С. 14-24.
4. Павлов В.М. Алгоритм расчета синтетических сейсмограмм в слоистом полупространстве с применением матричного импеданса // Физика Земли. 2013. № 1. С. 26-35.
5. Ben-Menahem A., Singh S.J. Seismic waves and sources. New York : Springer-Verlag, 1981. 1108 P.
6. Pavlov V.M. A convenient technique for calculating synthetic seismograms in a layered half-space // Proceedings of the International Conference "Problems of Geocosmos". St. Petersburg: 2002. P. 320-323.
7. Pollitz F.F. Coseismic deformation from earthquake faulting on a layered spherical earth // Geophys. J. Int. 1996. V